

ISSN: 2692-5206, Impact Factor: 12,23

American Academic publishers, volume 05, issue 02,2025



Journal: https://www.academicpublishers.org/journals/index.php/ijai

## STUDY OF CHEMICAL, MINERALOGICAL AND FRACTIONAL COMPOSITION OF PHOSPHORITES OF KARATAU AND CENTRAL KYZYLKUM

Mikhliev Oybek Avloyorovich

Karshi State Technical University

Nazarov Hasan Nurali ugli

Master, Karshi State Technical University

**Abstract:** The chemical composition of phosphogypsum was determined by X-ray analysis and calculation, which consists mainly of CaSO4·2H2O, CaSO4·H2O, CaCO3, CaCl3 b CaF2, as well as MgSO4·H2O and other compounds.

**Keywords:**MOPC, X-ray diffraction pattern, IR spectrum, energy dispersive spectrum and quantitative composition of MOPC elements on a scanning electron microscope, electron microscopy (SEM).

## ИЗУЧЕНИЕ ХИМИЧЕСКИХ, МИНЕРАЛОГИЧЕСКИХ И ФРАКЦИОННЫХ СОСТАВ ФОСФОРИТОВ КАРАТАУ И ЦЕНТРАЛЬНЫХ КЫЗЫЛКУМОВ

Михлиев Ойбек Авлоёрович

Каршинский государственный технический университет

Назаров Хасан Нурали ўгли

Магистр, Каршинский государственный технический университет

**Аннотация:**Определен химический состав фосфогипса рентгенографическим методом анализа и расчетным путем, который состоит в основном из CaSO4·2H2O, CaSO4·H2O, CaCO3, CaCl3 b CaF2, а также, MgSO4·H2O и других соединений.

**Ключевые слова:**МОФК, Рентгенограмма, ИК-спектр, Энергодисперсионный спектр и количественный состав элементов МОФК на сканирующем электронном микроскопе, Электронно-микроскопического (SEM).

На начальных этапах экспериментальной работы был изучен состав фосфоритов МОФК ЦК и Каратау с использованием современных методов физико-химического анализа. На рисунке 1 приведена рентгенограмма МОФК. При снятии образца применялась камера с вращением, где скорость вращения равна 30 об./мин. Расшифровку рентгенограмм проводили с использованием базы данных американской картотеки «The American Mineralogist crystal structure database» и рентгенометрического определителя минералов Михеева. Рентгенограмма характеризуется интенсивными пиками соответствующими пиками  $Ca_5(PO_4)_3F$  - 56%,  $Ca_2F_2(CO_3)$  - 18 %,  $Fe_3Al_2Si_3$  - 4%,  $CaCO_3$  - 6%, CaO - 16%.



ISSN: 2692-5206, Impact Factor: 12,23

American Academic publishers, volume 05, issue 02,2025



1500 03 MOFK 01-083-0577; Calcite; Calcium Carbonate; Ca ( C O 3 ) 01-076-6178; Brenkite; Calcium Fluoride Carbonate; Ca ( E O 3 ) 01-076-6178; Brenkite; Calcium Fluoride Carbonate; Ca ( E O 3 ) 01-074-4177; Fluorapatite, syn; Calcium Fluoride Phosphate; Ca ( P O 4 ) 3 F 01-085-0514; Calcium Peroxide; Ca O 2 01-080-7710; Calcium Oxide; Ca O 01-080-7710; Calcium Oxide; Ca Oxide; Ca Oxide; Ca Ox

Journal: https://www.academicpublishers.org/journals/index.php/ijai

Рис. 1 - Рентгенограмма МОФК.

На ИК - спектре (рис. 2) имеются частоты колебаний, характеризующие колебания, относящиеся к  $PO_4^{3-}$  586,39-1050,29 см<sup>-1</sup> и  $CO_3^{-2}$  - 1445,71 см<sup>-1</sup>. Данные ИК-спектроскопии МОФК подтверждают данные химического и рентгенографического методов анализа.

Position [°20] (Copper (Cu))

На ИК-спектре проявляются явные полосы пропускания в области частот 586,39 см<sup>-1</sup> и 1050,29 см<sup>-1</sup>, соответствующие антисимметричным и деформационным колебаниям иона  $PO_4^{3-}$ . О замещении иона  $PO_4^{3-}$  на  $CO_3^{2-}$  группу, вероятно, объясняется смещением максимумов полосы колебания  $PO_4^{3-}$  в высокочастотную область за счет наложения карбонатной полосы поглощения в структуре фосфатного минерала. В спектре МОФК частоты колебаний 1445,71 см<sup>-1</sup> относятся к карбонат - иону. Области 773,49 см<sup>-1</sup> характерны к валентным колебаниям Si-O-Si-связей.

Область поглощения 2011,84-3754,60 см<sup>-1</sup> характерны к валентным и деформационным колебаниям кристаллизационной, адсорбированной и воды (рис. 2).



ISSN: 2692-5206, Impact Factor: 12,23

American Academic publishers, volume 05, issue 02,2025



Journal: https://www.academicpublishers.org/journals/index.php/ijai

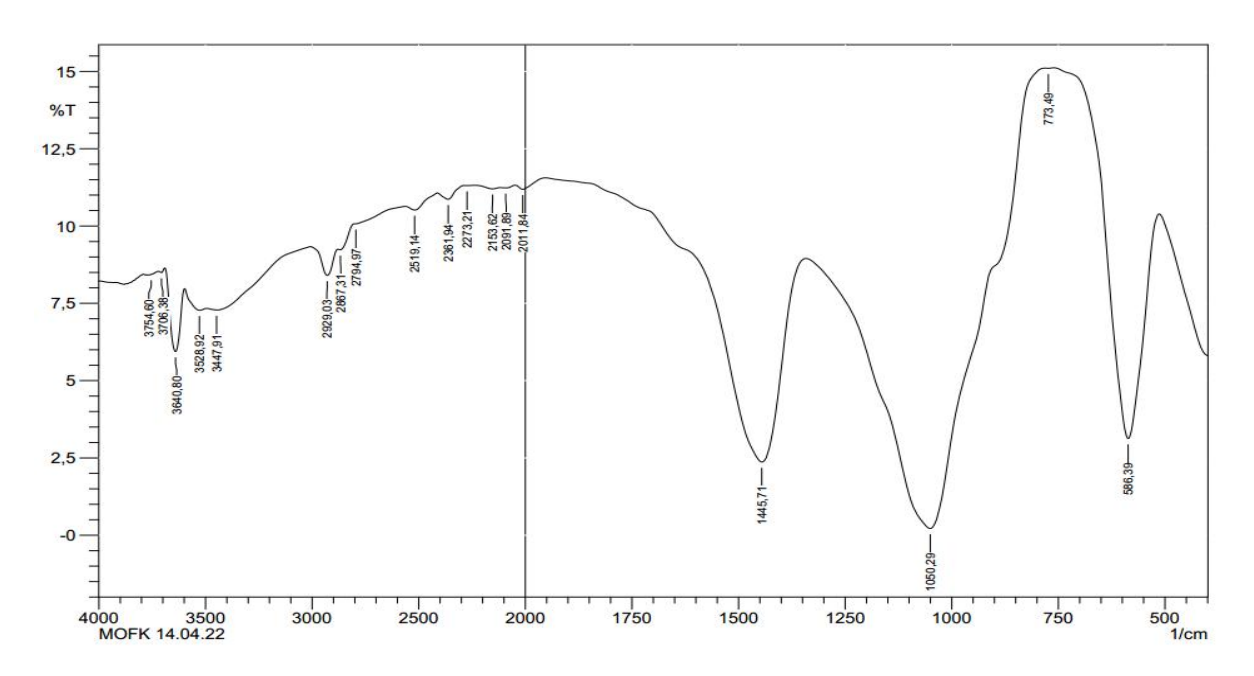


Рис. 2 - ИК-спектр МОФК.

Морфология поверхности и исследование микроструктуры образцов осуществляли с помощью сканирующего электронного микроскопа SEM - EVO MA 10 (Carl Zeiss, производство Германия) с рентгеновским спектрометром Aztec Energy Advanced X-Act — Oxford Instruments [1.2]. Данный прибор предназначен для микроскопического анализа структуры и дефектов, включая определение локального элементного состава с помощью энерго-дисперсионной спектроскопии.

Эксперименты на сканирующем электронном микроскопе проводили следующим образом. Для проведения процесса пробоподготовки, на предметный столик микроскопа был установлен держатель из металлического сплава, поверх которого приклеена алюминиевая фольга с двухсторонней клейкой поверхностью. На эту фольгу наносили исследуемый образец. Далее предметный столик устанавливали в рабочую камеру микроскопа, из которой был откачен воздух для создания вакуума. Для проведения измерения на филамент подавали ускоряющее напряжение 12 кВ, при этом рабочее расстояние составляло 8,5 мм. Изображения получены в масштабах от 2 мкм.

На рисунке 3 приведены энергодисперсионный спектр и количественный состав элементов МОФК на сканирующем электронном микроскопе.

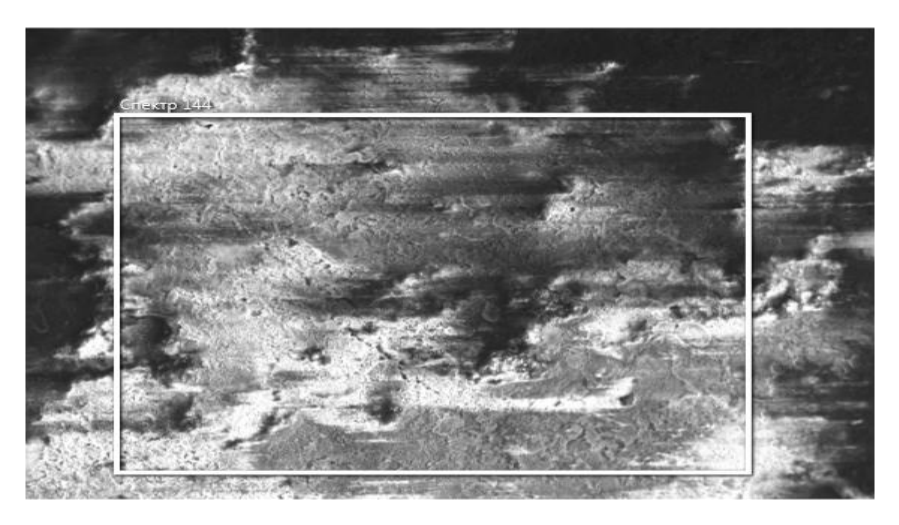


ISSN: 2692-5206, Impact Factor: 12,23

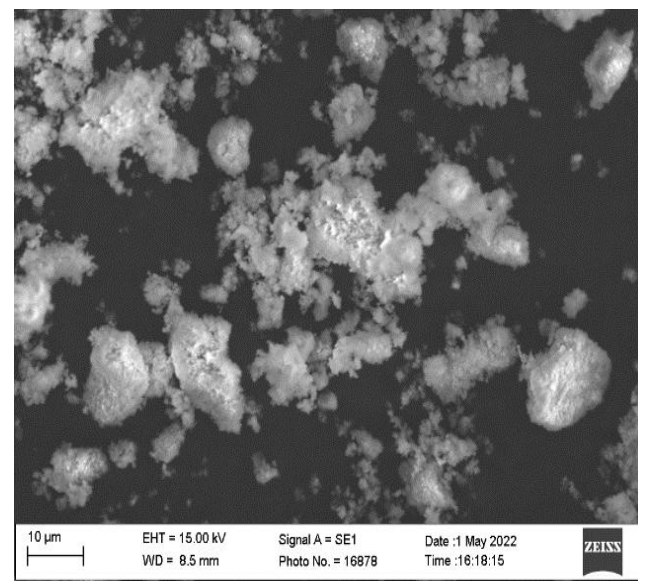
American Academic publishers, volume 05, issue 02,2025

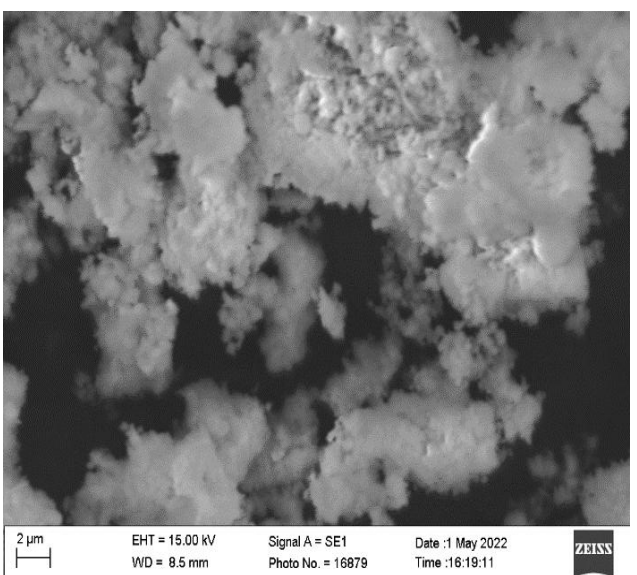


Journal: <a href="https://www.academicpublishers.org/journals/index.php/ijai">https://www.academicpublishers.org/journals/index.php/ijai</a>









б в

Элемент	Bec.%	Сигма Вес.%
С	4.78	0.22
О	33.66	0.31
F	2.89	0.20
Na	0.49	0.11
Mg	0.36	0.09



ISSN: 2692-5206, Impact Factor: 12,23

American Academic publishers, volume 05, issue 02,2025

Journal: https://www.academicpublishers.org/journals/index.php/ijai



A1 0.45 0.12 Si 1.50 0.08 P 11.44 0.23 S 2.60 0.33 C1 0.13 0.04 Ca 41.39 0.29 Fe 0.31 0.10 100.00

Cnexrp 144

Bec.% o

Ca 41.4 0.3

O 33.7 0.3

P 11.4 0.2

C 4.8 0.2

F 2.9 0.2

S 2.6 0.3

Si 1.5 0.2

Na 0.5 0.1

Al 0.4 0.1

Mg 0.4 0.1

Fe Al

C Mrl S

The Color of the co

Рис. 3 - Энергодисперсионный спектр и количественный состав элементов МОФК.

Результаты сканирующего электронно-микроскопического (SEM) анализа указывают на следующий состав: C-4,78%, O-33,66%, F-2,89%, Na-0,49%, Mg-0,36%, Al-0,45%, Si-1,50%, P-11,44%, S-2,60%, Cl-0,13%, Ca-41,39%, Fe-0,31%, что соответствует их содержанию в МОФК.

Результаты лабораторных экспериментов, проведенных для изучения химического состава  $MO\Phi K$ , были основаны на результатах современного физико-химического анализа.

Состав фосфоритов Каратау, выбранных в качестве объекта исследования, также был изучен с использованием методов физико-химического анализа. По результатам



ISSN: 2692-5206, Impact Factor: 12,23

American Academic publishers, volume 05, issue 02,2025



Journal: https://www.academicpublishers.org/journals/index.php/ijai

рентгеноструктурного анализа было установлено, что состав этих фосфоритов в основном состоит из CaO и  $P_2O_5$ , помимо присутствия соединений  $F_3Al_2Si_3$ . (4 рис.).

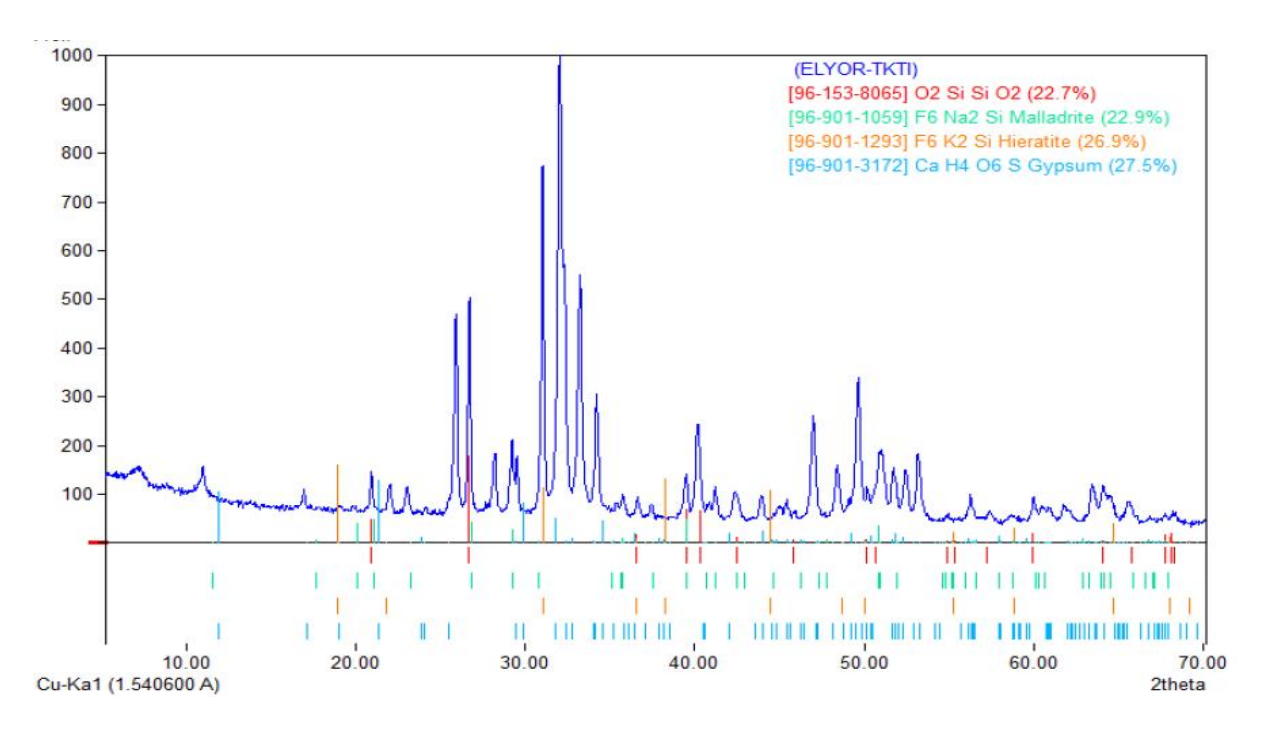


Рис. 4 - Рентгенограмма фосфоритов Карату

Результаты ИК-спектрального анализа фосфоритов Каратау представлены на рис 5.

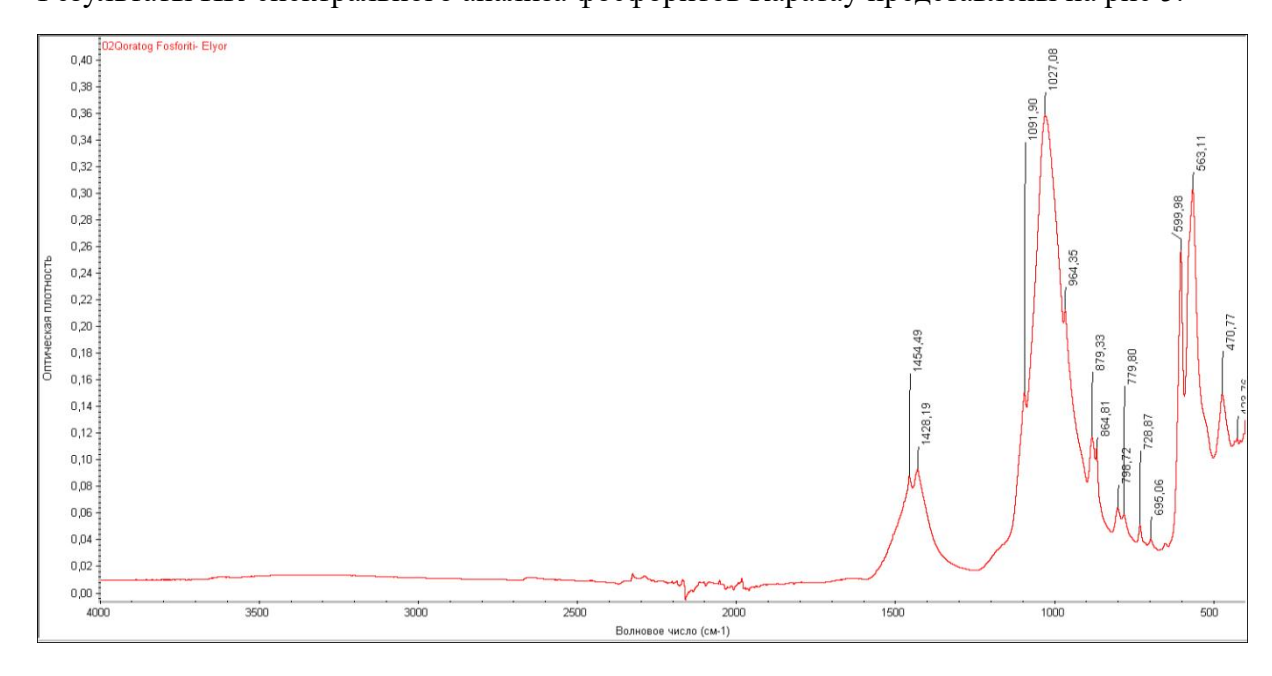


Рис. 5 - ИК-спектр фосфоритов Карату

# ORIGINAL ARTICLE

#### INTERNATIONAL JOURNAL OF ARTIFICIAL INTELLIGENCE

ISSN: 2692-5206, Impact Factor: 12,23





Journal: https://www.academicpublishers.org/journals/index.php/ijai

На ИК-спектре проявляются явные полосы пропускания в области частот 586,39 см<sup>-1</sup> и 1050,29 см<sup>-1</sup>, соответствующие антисимметричным и деформационным колебаниям иона  $PO_4^{3-}$ . О замещении иона  $PO_4^{3-}$  на  $CO_3^{2-}$  группу, вероятно, объясняется смещением максимумов полосы колебания  $PO_4^{3-}$  в высокочастотную область за счет наложения карбонатной полосы поглощения в структуре фосфатного минерала. В спектре МОФК частоты колебаний 1445,71 см<sup>-1</sup> относятся к карбонат - иону. Области 773,49 см<sup>-1</sup> характерны к валентным колебаниям Si-O-Si-связей.

#### ЛИТЕРАТУРЫ:

- 1. Мирзакулов Х.Ч. Разработка ресурсосбергающей технологии переработки фосфоритов Центральных Кызылкумов на фосфорсодержащие удобрения / Автор. дис. докт. техн. наук. Ташкент, 2009. С. 52.
- 2. Zschornack G. Handbook of X-ray data. Berlin, Heidelberg: Springer- Verlag. 2007. 969 p.